

Analyse en Ondelettes

Pierre Gervais, Souhaib Boulahia, Chlo Rouyer

9 juin 2017

Table des matires

| | | |
|------------|---|-----------|
| I | Outils prliminaires | 3 |
| 1 | Espaces de Hilbert | 3 |
| 1.1 | Introduction et dfinition | 3 |
| 1.2 | Bases de Hilbert | 3 |
| 2 | Espaces de Lebesgue | 9 |
| II | Analyse du signal | 10 |
| 3 | L'analyse de Fourier | 10 |
| 3.1 | Sries de Fourier | 10 |
| 3.2 | Transforme de Fourier | 15 |
| 3.3 | Transforme de Fourier fenetre glissante | 17 |
| 3.4 | Transforme de Fourier discrte | 17 |
| III | Analyse du signal | 18 |
| 4 | Analyse multi-rsolution | 19 |
| 4.1 | Introduction | 19 |
| 4.2 | L'analyse multi-rsolution | 21 |
| 4.3 | Espace des dtails | 22 |
| 5 | Ondelettes | 23 |
| IV | Algorithmes d'encodage et de dcodage | 27 |
| 6 | Cadre thorique | 27 |
| 6.1 | Validation de l'algorithme | 28 |
| 7 | Version alternative | 29 |
| 7.1 | Optimisation et compression | 29 |

Premire partie

Outils prliminaires

0.1 Espaces de Hilbert

0.1.1 Introduction et définition

Nous disposons en dimension finie de nombreux théorèmes bien utiles, notamment dans le cadre des espaces euclidiens (existence d'une base, toute famille orthogonale est libre, procédé d'orthonormalisation de Gram-Schmidt ...).

Cela se prête parfaitement aux études géométriques dans le plan et l'espace que nous connaissons, mais gâche la manipulation de certains objets de l'analyse tels que les polynômes de degré au plus $n \in \mathbb{N}$ ou de matrices que l'on identifie certaines applications linéaires.

Rappelons rapidement la notion de base :

Définition 1. Pour un espace vectoriel E , une *base* $\mathcal{B} \subset E$ est une famille *libre* et *génératrice* : tout élément de E peut s'écrire comme une unique combinaison linéaire (finie) d'éléments de \mathcal{B} . Les bases de E sont toutes de même cardinal, on définit grâce à elles la *dimension* de E comme tant le cardinal de \mathcal{B} .

L'axiome du choix nous garantit que tout espace vectoriel admet une base. L'espace des suites finies à partir d'un certain rang (que l'on notera ℓ_F), bien que de dimension infinie, possède une base très simple :

$$\mathcal{U} = \{\nu_1 = (1, 0, 0, \dots), \nu_2 = (0, 1, 0, \dots), \nu_3 = (0, 0, 1, 0, \dots), \nu_4 = (0, 0, 0, 1, 0, \dots), \dots\}$$

En effet toute suite de ℓ_F est une combinaison linéaire (finie) de tels éléments. Cependant cette famille ne constitue pas une base pour l'espace ℓ^1 des suites de module sommable et on souhaite utiliser la famille \mathcal{U} qui est très naturelle et facile à manipuler.

Nous sommes très tentés d'écrire les éléments de ℓ_F comme une somme infinie d'éléments de \mathcal{U} , mais pour que cela ait un sens il est nécessaire de définir une topologie, par exemple avec une norme, voire une norme induite par un produit scalaire.

La question se pose alors ; pouvons-nous généraliser les outils de géométrie pour étudier des espaces de dimension infinie ?

C'est dans ce contexte qu'est née l'analyse de Hilbert au début du 20^{ème} siècle au travers des travaux de Erhard Schimidt, Frigyes Riesz et bien sûr David Hilbert.

0.1.2 Bases de Hilbert

Définition 2. Un espace vectoriel E est dit *de Hilbert* (ou *Hilbertien*) s'il est muni d'un produit scalaire $\langle \cdot, \cdot \rangle$ et qu'il est complet pour la norme induite par ce produit scalaire.

On ne s'intéressera ici qu'à un certain type d'espaces hilbertiens ; ceux qui sont dits *séparables* :

Définition 3. Un espace vectoriel normé E est dit *séparable* s'il admet une famille *dense* et *énumérable*.

C'est-à-dire s'il existe $F = \{f_n\}_{n \in \mathbb{N}} \subset E$ telle que $\overline{F} = E$

Exemple 1.

1. \mathbb{R} muni de la valeur absolue est séparable : $\overline{\mathbb{Q}} = \mathbb{R}$, et l'ensemble des rationnels est bien énumérable.

2. Plus gnralement si $E \cong \mathbb{R}^n$ pour un certain $n \geq 1$, et $\mathbf{e} = (e_i)_{1 \leq i \leq n}$ est une base de E , alors on construit l'ensemble des combinaisons linaires de \mathbf{e} coefficients dans \mathbb{Q} :

$$F = \left\{ \sum_{i=1}^n q_i e_i \mid \{q_i\}_i \subset \mathbb{Q} \right\}$$

Cet ensemble est bien dnombrable : il est quipotent \mathbb{Q}^n , et il s'agit bien d'une partie dense dans E .

En effet pour tout $x = \sum_{i=1}^n x_i e_i$ on peut trouver n suites $\{q_{i,j}\}_{j \in \mathbb{N}} \subset \mathbb{Q}$ telles que $q_{i,j} \rightarrow x_i$ ($j \rightarrow \infty$) pour ainsi

obtenir $x_j := \sum_{i=1}^n q_{i,j} e_i$ de limite x .

On remarque que si on s'autorisait prendre dans le second exemple des coefficients rels on aurait $F = E$ car \mathbf{e} est une base. Dans un cas plus gnral (ou plutt un cas bien particulier ; toujours celui de ℓ^1), si \mathbf{e} n'est pas une base mais seulement une famille libre agrable manipuler et que l'on souhaite absolument utiliser, est-ce que l'ensemble des combinaisons linaires d'lments de e donne tout l'espace initial ? (Non, sinon j'aurais prcis qu'elle tait galement gnratrice).

Dfinition 4. Une partie $P \subset E$ est dite totale si $Vect(P) = \{\text{combinaisons linaires d'lments de } P\}$ est dense dans E .

Exemple 2. Prenons l'exemple de ℓ^2 muni de la norme suivante

$$\|u\|_2 = \sqrt{\sum_{n=0}^{\infty} |u_n|^2}$$

Montrons que toute suite de cet espace s'crit dans \mathcal{U} de la forme $u = \sum_{n=0}^{\infty} u_n \nu_n$, o la convergence a lieu au sens de $\|\cdot\|_2$.

Soit $u \in \ell^2$, on a

$$\left\| u - \sum_{k=0}^n \nu_k u_k \right\|_2^2 = \|(0, 0, \dots, u_{n+1}, u_{n+2}, \dots)\|_2^2 = \sum_{k=n+1}^{\infty} |u_k|^2$$

Or $\sum |u_n|^2$ est une suite convergente, la valeur prcdente converge donc bien vers 0. Toute suite de ℓ^2 peut alors tre cite comme une limite de combinaisons linaires d'lments de \mathcal{U} , $Vect(\mathcal{U})$ est bien une partie totale de ℓ^2 .

La famille \mathcal{U} a beau ne pas tre une base, elle a le mrite d'tre facile apprehender et de permettre de dcomposer tout lment de ℓ^2 en une srie absolument convergente. On munit prsent cet espace du produit scalaire induisant $\|\cdot\|_2$:

$$\langle u, v \rangle = \sum_{n=0}^{\infty} u_n \overline{v_n}$$

On remarque que \mathcal{U} est orthonormale pour ce produit scalaire.

Proposition 1. ℓ^2 muni de ce produit scalaire forme un espace Hilbertien.

Preuve 1. En effet soit $(u_n)_{n \in \mathbb{N}}$ une suite de Cauchy valeurs dans ℓ^2 , on a pour tout $\varepsilon > 0$ un entier $N \geq 0$ tel que pour tout $p \geq 0$

$$\|u_N - u_{N+p}\|_2^2 = \sum_{n=0}^{\infty} |u_{N,n} - u_{N+p,n}|^2 \leq \varepsilon$$

en notant $u_N = (u_{N,0}, u_{N,1}, u_{N,2} \dots)$.

On en déduit pour tout n $|u_{N,n} - u_{N+p,n}|^2 \leq \varepsilon$ ce qui signifie que chaque suite $(u_{k,n})_{k \in \mathbb{N}}$ est une suite de Cauchy valeurs dans \mathbb{C} qui lui est complet.

Soient v_n la limite des n -ième composante des suites $(u_N)_{N \in \mathbb{N}}$, on a pour tout M :

$$\sum_{n=0}^M |v_n|^2 = \lim_{N \rightarrow \infty} \sum_{n=0}^M |u_{N,n}|^2 \leq \lim_{N \rightarrow \infty} \|u_N\|_2^2$$

Or la suite $(u_N)_N$ est de Cauchy donc bornée, la somme est alors elle aussi bornée donc convergente car termes positifs. $(v_n)_n$ est donc bien un élément de ℓ^2 . □

\mathcal{U} est alors une famille orthonormée et totale de ℓ^2 , c'est-à-dire "presque" génératrice (si on accepte d'abandonner la restriction de combinaisons linéaires finies), cela mérite tout de même un nom !

Définition 5. Une famille $\mathcal{F} \subset H$ est appelée *base hilbertienne* si elle est orthonormale et totale.

Cette notion est une généralisation de celle de base, ce qui soulève immédiatement certaines questions :

- Existe-il toujours une base hilbertienne ?
- Les bases Hilbertiennes sont-elles toutes de même cardinal ?
- Toute base hilbertienne est-elle encore une famille orthonormale maximale pour l'inclusion et réciproquement ?

Nous avons annoncé plus haut que nous ne nous intéresserions qu'aux espaces séparables, ce qui nous permet de répondre la première question :

Proposition 2. *Tout espace Hilbertien séparable admet une base Hilbertienne.*

Preuve 2. Soit E un espace hilbertien et $\mathbf{g} = \{g_n\}_{n \in \mathbb{N}} \subset E$ une partie dense dans E . Nous allons construire une base hilbertienne $\mathbf{f} = \{f_n\}_{n \in \mathbb{N}}$ à partir de \mathbf{g} en l'orthonormalisant par le procédé de Gram-Schmidt.

On supposera $0 \notin \mathbf{g}$ et E de dimension infinie, dans le cas de la dimension finie la suite construite par récurrence est finie et est une base en tant que famille libre (car orthonormée) maximale.

On note $G_n = \text{Vect}(g_0, g_1 \dots g_n)$ et $F_n = \text{Vect}(f_0, f_1 \dots f_n)$.

Construction et orthonormalité On pose $f_0 = \frac{g_0}{\|g_0\|}$ et on construit par récurrence la suite \mathbf{f} de manière ce qu'à tout rang $n \in \mathbb{N}$ la famille $(f_0, f_1 \dots f_n)$ soit orthonormale.

Soit $n \geq 0$, on suppose disposer de $f_0, f_1 \dots f_n$ comme ci-dessus. E est de dimension infinie et \mathbf{g} est dense, il existe alors un plus petit m tel que $G_m \setminus F_n \neq \emptyset$. On choisit un $x \in G_m \setminus F_n$, celui-ci est alors linéairement indépendant des vecteurs $f_0 \dots f_n$, on peut donc l'orthonormaliser :

$$y = x - \sum_{k=0}^n \langle x, f_k \rangle f_k$$

$$f_{n+1} = \frac{y}{\|y\|}$$

$(f_0, f_1 \dots f_{n+1})$ est ainsi une famille orthonormale.

Totalit A tout rang n on a $\{g_0, \dots, g_n\} \subset F_n$ et donc $G_n \subset F_n$. En faisant l'union pour tout $n \in \mathbb{N}$ on obtient $\mathbf{g} \subset \bigcup_{n \in \mathbb{N}} G_n \subset \bigcup_{n \in \mathbb{N}} F_n$. \mathbf{g} tant par hypothèse dense dans E , on obtient le résultat en passant à l'adhérence :

$$E = \overline{\mathbf{g}} \subset \overline{\bigcup_{n \in \mathbb{N}} F_n} = \overline{\text{Vect}(f_0, f_1 \dots)} \subset E$$

□

Ainsi il existe toujours une base hilbertienne dans un espace hilbertien séparable. De plus, toutes les bases hilbertiennes sont équipotentes entre elles.

Cette propriété est évidente dans le cas de la dimension finie, pour le démontrer en dimension infinie, il suffit de montrer que toute base s'injecte dans \mathbb{N} ou plus généralement dans un ensemble dénombrable.

Proposition 3. *Dans un espace hilbertien séparable, toutes les bases sont de même cardinal.*

Preuve 3. Soit E un espace de Hilbert séparable de dimension infinie et $\mathcal{B} = \{f_i \mid i \in I\}$ une base de E .

Par définition E admet une famille dense dénombrable $\mathcal{F} = \{g_n \mid n \in \mathbb{N}\}$, nous allons approximer notre base par ses éléments ce qui donnera une injection de \mathcal{B} dans \mathcal{F} .

Soit $\varepsilon > 0$, pour tout $f \in \mathcal{B}$, il existe un $g \in \mathcal{F}$ distance au plus ε de f , on pose $\varphi_\varepsilon(f) = g$.

Ainsi pour tout $f, f' \in \mathcal{B}$ on a l'inégalité suivante :

$$\|f - f'\| \leq \|f - \varphi_\varepsilon(f)\| + \|\varphi_\varepsilon(f) - \varphi_\varepsilon(f')\| + \|f' - \varphi_\varepsilon(f')\| \leq 2\varepsilon + \|\varphi_\varepsilon(f) - \varphi_\varepsilon(f')\|$$

$$\|f - f'\| - 2\varepsilon \leq \|\varphi_\varepsilon(f) - \varphi_\varepsilon(f')\|$$

\mathcal{B} tant orthonormé, si f et f' sont distincts, la valeur $\|f - f'\| = \sqrt{2}$ est indépendante de f, f' et ε , ainsi pour ε assez petit

$$\forall f, f' \in E, f \neq f' \implies \|\varphi_\varepsilon(f) - \varphi_\varepsilon(f')\| > 0$$

c'est-à-dire $\varphi_\varepsilon : \mathcal{B} \longrightarrow \mathcal{F}$ est injective car on a $x \neq y \implies \varphi_\varepsilon(x) \neq \varphi_\varepsilon(y)$.

□

Répondons présent la troisième question : il y a-t-il encore équivalence entre une base hilbertienne et une famille orthonormée maximale pour l'inclusion ?

La réponse est oui !

Théorème 1. *Dans un espace Hilbertien, une famille orthonormée est une base hilbertienne si et seulement si elle est maximale.*

Ici "maximal" est au sens d'une partie vérifiant une certaine propriété (que tous ses éléments soient orthogonaux entre eux), c'est-à-dire qu'elle contient tous les vecteurs non-nuls orthogonaux à tous ses autres éléments.

Pour démontrer ce théorème, nous aurons besoin des lemmes suivants :

Lemme 1. *Soit $\{e_n \mid n \in \mathbb{N}\}$ une famille orthonormée et $F = \text{Vect}(e_0, e_1 \dots)$*

$$1. \forall n \in \mathbb{N}, \forall f \in E, \sum_{k=0}^n |\langle f, e_k \rangle|^2 \leq \|f\|^2 \text{ (Inégalité de Bessel)}$$

$$2. \text{ L'application } \pi_F : E \longrightarrow \overline{F} \text{ donne par } \pi_F(f) = \sum_{n=0}^{\infty} \langle f, e_n \rangle e_n \text{ est bien définie et est la projection orthogonale de } E \text{ sur } \overline{F}.$$

Preuve 4. Preuve de 1. :

Soit $f \in E$ et $n \in \mathbb{N}$

$$\begin{aligned}
& \left\| f - \sum_{k=0}^n \langle f, e_k \rangle e_k \right\|^2 \geq 0 \\
& \|f\|^2 + \left\| \sum_{k=0}^n \langle f, e_k \rangle e_k \right\|^2 - 2 \operatorname{Re} \left\langle f, \sum_{k=0}^n \langle f, e_k \rangle e_k \right\rangle \geq 0 \\
& \|f\|^2 + \sum_{k=0}^n |\langle f, e_k \rangle|^2 - 2 \operatorname{Re} \left\langle f, \sum_{k=0}^n \langle f, e_k \rangle e_k \right\rangle \geq 0 \\
& \|f\|^2 + \sum_{k=0}^n |\langle f, e_k \rangle|^2 - 2 \operatorname{Re} \sum_{k=0}^n |\langle f, e_k \rangle|^2 \geq 0 \\
& \|f\|^2 + \sum_{k=0}^n |\langle f, e_k \rangle|^2 - 2 \sum_{k=0}^n |\langle f, e_k \rangle|^2 \geq 0 \\
& \|f\|^2 \geq \sum_{k=0}^n |\langle f, e_k \rangle|^2
\end{aligned}$$

Preuve de 2.

La srie $\sum \langle f, e_n \rangle e_n$ vrifie le critre de Cauchy, or l'espace E est complet en tant qu'espace Hilbertien, alors la srie est convergente. En effet pour tout $N, p \geq 0$:

$$\left\| \sum_{k=0}^N \langle f, e_n \rangle e_n - \sum_{k=0}^{N+p} \langle f, e_n \rangle e_n \right\|^2 = \left\| \sum_{k=N+1}^{N+p} \langle f, e_n \rangle e_n \right\|^2 = \sum_{k=N+1}^{N+p} |\langle f, e_n \rangle|^2$$

Or par le point prcdent, la srie $\sum |\langle f, e_n \rangle|^2$ est convergente, donc $\sum_{k=N+1}^{N+p} |\langle f, e_n \rangle|^2$ peut tre rendu aussi petit que l'on souhaite, $\pi_F(f)$ existe donc.

Montrons prsent que $f - \pi_F(f)$ est orthogonal tout vecteur de F , c'est--dire orthogonal tout vecteur de la base de F .

Soit e_i un vecteur de la famille orthonorme, f un vecteur de E

$$\begin{aligned}
\left\langle \sum_{k=0}^n \langle f, e_k \rangle e_k, e_i \right\rangle &= \sum_{k=0}^n \langle f, e_k \rangle \langle e_k, e_i \rangle \\
&= \langle f, e_i \rangle \langle e_i, e_i \rangle \\
&= \langle f, e_i \rangle
\end{aligned}$$

Ainsi $\left\langle f - \sum_{k=0}^n \langle f, e_k \rangle e_k, e_i \right\rangle = \langle f, e_i \rangle - \langle f, e_i \rangle = 0$, on en conclut en faisant tendre n vers ∞ que $\pi_F(f) - f \in F^\perp$.

π_F est bien la projection orthogonale de E sur \overline{F} .

□

Nous pouvons prsent revenir la preuve du thorme qui nous intresse.

Preuve 5. Soit $\mathcal{F} = \{e_n \mid n \in \mathbb{N}\}$ une famille orthonormale d'un espace hilbertien E .

Si \mathcal{F} est une base hilbertienne, alors elle est maximale : Soit f un vecteur orthogonal tout lment de \mathcal{F} , montrons $f = 0$.

\mathcal{F} tant une base hilbertienne, pour tout $\varepsilon > 0$ il existe une famille de scalaires $(\lambda)_{i \in I}$ avec $I \subset \mathbb{N}$ fini tel que

$$\begin{aligned} \left\| f - \sum_{i \in I} \lambda_i e_i \right\|^2 &< \varepsilon \\ \left\langle f - \sum_{i \in I} \lambda_i e_i, f - \sum_{i \in I} \lambda_i e_i \right\rangle &< \varepsilon \\ \|f\|^2 - \left\langle f, \sum_{i \in I} \lambda_i e_i \right\rangle - \left\langle \sum_{i \in I} \lambda_i e_i, f \right\rangle + \sum_{i \in I} |\lambda_i|^2 &< \varepsilon \\ \|f\|^2 - \sum_{i \in I} \lambda_i \langle f, e_i \rangle - \sum_{i \in I} \lambda_i \langle e_i, f \rangle + \sum_{i \in I} |\lambda_i|^2 &< \varepsilon \end{aligned}$$

On a suppos f orthogonal la famille \mathcal{F} :

$$\begin{aligned} \|f\|^2 + \sum_{i \in I} |\lambda_i|^2 &< \varepsilon \\ \|f\|^2 &< \varepsilon \end{aligned}$$

On en dduit $f = 0$, \mathcal{F} est donc maximale.

Si \mathcal{F} est maximale, alors c'est une base hilbertienne : D'aprs le lemme prcdent, pour tout $f \in E$, $(f - \pi_F(f)) \in F^\perp$, alors par maximalit de la famille \mathcal{F} on a $f - \pi_F(f) = 0$, d'o le rsultat. \square

0.2 Espaces de Lebesgue

Dfinition 6. tant donn μ une mesure sur \mathbb{R} et $p \in [1, +\infty[$, on dfinit

$$\mathcal{L}^p(\mathbb{R}) = \left\{ f : \mathbb{R} \longrightarrow \mathbb{C} \text{ mesurable} \mid \int_{\mathbb{R}} |f|^p d\mu < \infty \right\}$$

Il s'agit d'un espace vectoriel. De plus, l'application $\|\cdot\|_p : \mathcal{L}^p(\mathbb{R}) \longrightarrow \mathbb{R}_+$ donne par

$$\|f\|_p = \left(\int |f|^p d\mu \right)^{\frac{1}{p}}$$

définit une semi-norme : elle vérifie bien la propriété d'homogénéité et l'inégalité triangulaire¹, mais pas le fait d'être définie. En effet, certaines fonctions non nulles f vérifient $\|f\|_p = 0$ (si elles sont nulles presque partout). Par exemple, la fonction caractéristique de \mathbb{Q} .

On peut palier ce problème en quotientant \mathcal{L}^p par son sous-espace des fonctions nulles presque partout. Si f et g coïncident presque partout, alors $\|f\|_p = \|g\|_p$. Cette application reste donc bien définie sur l'espace quotient, et on a présent que $\|[f]\|_p = 0$ implique $f \equiv 0$ presque partout, où $[f]$ est la classe d'équivalence de f . D'après, on utilisera f pour exprimer la classe d'équivalence de f .

Définition 7. On note cet espace quotient $L^p(\mathbb{R})$, et on l'appelle espace de Lebesgue. Muni de la norme $\|\cdot\|_p$, il constitue un espace de Banach (théorème de Riesz-Fischer)².

On effectue la même construction pour les fonctions 2π -périodiques que l'on note $L^p(\mathbb{T})$.

Remarque 1. Les fonctions 2π -périodiques peuvent être vues comme des fonctions définies sur le cercle \mathbb{S}^1 .

1. Théorie de la mesure et de l'intégration, Thierry Gallay, UJF
2. Théorie de la mesure et de l'intégration, Thierry Gallay, UJF

Deuxime partie

Analyse du signal

0.3 L'analyse de Fourier

En termes d'analyse du signal, l'utilisation de l'analyse de Fourier paraît être indispensable. Le principe sous-jacent à cette analyse provient de l'étude des séries de Fourier, qui permet sous certaines conditions de décomposer un signal périodique en une somme de signaux sinusodaux de même fréquence et de fréquences harmoniques.

Nous allons étudier les outils sur lesquels reposent cette analyse, puis observer l'application sur des exemples, qui mettront en valeur les limites de ce procédé et la nécessité d'utiliser une analyse plus poussée comme l'analyse en ondelettes. Cette partie sera limitée aux fonctions d'une seule variable.

0.3.1 Séries de Fourier

Dans cette partie, nous voulons d'abord étudier le cas des fonctions de $L^2(\mathbb{T})$. On verra que dans cet espace fonctionnel, il existe une base dans laquelle n'importe quelle fonction peut être décomposée de manière unique. De plus, il sera important de prendre en compte la notion de convergence de cette décomposition qui est nécessaire dans de nombreuses applications.

On se restreint aux fonctions 2π -périodiques, car l'étude des autres fonctions périodiques reste la même : des coefficients multiplicatifs près.

Définition 8. On munit $L^2(\mathbb{T})$ d'un produit scalaire et de sa norme induite, définis par :

$$\langle f, g \rangle = \frac{1}{2\pi} \int_0^{2\pi} f(t) \overline{g(t)} dt$$
$$\|f\|_2 = \left(\frac{1}{2\pi} \int_0^{2\pi} |f(t)|^2 dt \right)^{\frac{1}{2}}$$

Il s'agit ainsi d'un espace de Hilbert.

Définition 9. On définit pour tout $k \in \mathbb{Z}$, $e_k(t) := e^{ikt}$, $t \in \mathbb{R}$.

Ces fonctions sont aux polynômes trigonométriques ce que les puissances de l'indéterminée sont aux polynômes classiques.

Définition 10. Soit f une fonction de $L^2(\mathbb{T})$ et N un entier positif, on définit sa N -ième série de Fourier par

$$S_N(f) = \sum_{k=-N}^N c_k(f) e_k$$
$$= \sum_{k=-N}^N \langle f, e_k \rangle e_k$$

où c_k est le k -ième coefficient de Fourier de f .

La N -ième série de Fourier d'une fonction f est sa projection orthogonale sur l'espace engendré par $e_{-N}, e_{-N+1}, \dots, e_N$. On retrouve une propriété intuitive des projections orthogonales, qui porte ici le nom d'ingalité de Bessel :

Théorème 2. Soit $f \in L^2(\mathbb{T})$, on a pour tout N , $\|S_N(f)\|_2 \leq \|f\|_2$

Preuve 6.

$$\begin{aligned}
\|f - S_N(f)\|_2^2 &= \langle f - S_N(f), f - S_N(f) \rangle \\
&= \|f\|_2^2 + \|S_N(f)\|_2^2 + \langle f, S_N(f) \rangle + \langle S_N(f), f \rangle \\
&= \|f\|_2^2 + \|S_N(f)\|_2^2 + \langle f, S_N(f) \rangle + \overline{\langle f, S_N(f) \rangle} \\
&= \|f\|_2^2 + \|S_N(f)\|_2^2 - 2\operatorname{Re}(\langle f, S_N(f) \rangle) \quad \text{car } \langle f, S_N(f) \rangle = \|S_N(f)\|^2 \\
&= \|f\|_2^2 - \|S_N(f)\|_2^2
\end{aligned}$$

$\|f\|_2^2 - \|S_N(f)\|_2^2 \geq 0$, d'o le rsultat. \square

On remarque galement que si P est un polynme trigonomtrique, alors $S_N(P) = P$ pour $N = \deg P$.

Proposition 4. $(e_k)_{k \in \mathbb{Z}}$ est une base hilbertienne.

Preuve 7. On cherche montrer qu'il s'agit d'une famille orthonorme et dont les combinaisons linaires sont denses dans $L^2(\mathbb{T})$. Plus prcisment, qu'elle est orthonorme et que pour tout $f \in L^2(\mathbb{T})$

$$\lim_{n \rightarrow \infty} \sum_{k=-n}^n \langle f, e_k \rangle e_k = f \quad (\text{dans } L^2(\mathbb{T}), \|\cdot\|_2)$$

Soient $k, l \in \mathbb{Z}$, si $k = l$

$$\begin{aligned}
\langle e_k, e_l \rangle &= \|e_k\|_2^2 = \frac{1}{2\pi} \int_0^{2\pi} e_k(t) \overline{e_k(t)} dt \\
&= \frac{1}{2\pi} \int_0^{2\pi} e^{ikt} e^{-ikt} dt \\
&= \frac{1}{2\pi} \int_0^{2\pi} 1 dt \\
&= 1
\end{aligned}$$

Sinon,

$$\begin{aligned}
\langle e_k, e_l \rangle_2 &= \frac{1}{2\pi} \int_0^{2\pi} e_k(t) \overline{e_l(t)} dt \\
&= \frac{1}{2\pi} \int_0^{2\pi} e^{ikt} e^{-ilt} dt \\
&= \frac{1}{2\pi} \int_0^{2\pi} e^{i(k-l)t} dt \\
&= \frac{1}{2\pi} \left[\frac{e^{i(k-l)t}}{i(k-l)} \right]_0^{2\pi} \\
&= \frac{e^{i(l-k)2\pi} - e^{i(l-k)0}}{i2\pi(l-k)} \\
&= \frac{1 - 1}{i2\pi(l-k)} \\
&= 0
\end{aligned}$$

Montrons prsent que toute fonction de $L^2(\mathbb{T})$ admet une dcomposition unique dans cette base.

Soit $f \in L^2(\mathbb{T})$ et $\varepsilon > 0$, sachant que les fonctions 2π -priodiques continues sont denses dans $L^2(\mathbb{T})$, il existe f_0 continue et 2π -priodique telle que $\forall t, |f(t) - f_0(t)| < \varepsilon$.

Celle-ci tant priodique, on en dduit l'existence de F_0 dfinie sur le cercle unit telle que $f_0(t) = F_0(e^{it})$.

D'aprs le thorme de Stone-Weierstrass, il existe un polynme trigonomtrique P tel que $\forall t, |f_0(t) - P(e^{it})| < \varepsilon$. Par l'ingalit triangulaire, on a :

$$\begin{aligned} \|S_N(f) - f\|_2 &\leq \|S_N(f) - S_N(P)\|_2 + \|S_N(P) - P\|_2 + \|f - P\|_2 \\ &\leq 2\|f - P\|_2 + \|S_N(P) - P\|_2 \quad \text{par l'ingalit de Bessel} \\ &\leq 2\|f - P\|_2 \quad \text{pour } N \geq \deg(P) \\ &\leq 2\|f - f_0\|_2 + 2\|f_0 - P\|_2 \\ &\leq 4\varepsilon \end{aligned}$$

□

Comme cette famille est une base Hilbertienne de $L^2(\mathbb{T})$, il est donc possible de dcomposer les fonctions de cet espace dans cette base de manire unique. C'est dire que :

$$\lim_{N \rightarrow +\infty} \|S_N(f) - f\|_2 = 0$$

On dit que la convergence est en moyenne quadratique.

Il est possible d'tendre l'analyse en sries de Fourier pour les fonctions priodiques de $L^1(\mathbb{T})$, tout en conservant une notion de convergence.

Thorme 3. Soit $f \in L^1(\mathbb{T})$. Si ses coefficients de Fourier forment une famille sommable, $(c_n(f))_{n \in \mathbb{Z}}$, alors :

$$\lim_{N \rightarrow +\infty} \|S_N(f) - f\|_{L^\infty(\mathbb{T})} = 0$$

Et f admet un representant continu.

Preuve 8. $S_N(f)$ converge normalement (vers une limite continue) :

$$\sum_{p \in \mathbb{Z}} \|c_p(f)e_p\|_\infty = \sum_{p \in \mathbb{Z}} |c_p(f)| < \infty$$

$S_N(f)$ converge pour la norme $\|\cdot\|_\infty$ et donc pour $\|\cdot\|_{L^\infty}$. Par injection continue de $L^\infty(\mathbb{T})$ dans $L^2(\mathbb{T})$, S_N , sa limite dans $L^\infty(\mathbb{T})$ concide avec f (sa limite dans $L^2(\mathbb{T})$). Donc f admet bien un representant continu.

□

Au del de l'existence d'une convergence, il peut-tre utile d'tudier la vitesse de convergence. Il s'agit d'tudier la dcroissance des coefficients de Fourier d'une fonction.

Thorme 4. Soit f une fonction de classe \mathcal{C}^k . Alors, $c_p(f^{(k)}) = (ip)^k c_p(f)$ et il existe une constante C telle que :

$$|c_p(f)| \leq \frac{C}{|p|^k}$$

Preuve 9. Par rcurrence sur k . pour $k = 1$, on a :

$$\begin{aligned}
 c_p(f') &= \frac{1}{2\pi} \int_0^{2\pi} \pi f(t) e^{-ipt} dt \\
 &= -\frac{1}{2\pi} \int_0^{2\pi} \pi f(t) (-ip) e^{-ipt} dt + \frac{1}{2\pi} [f(t) e^{-ipt}]_0^{2\pi} \\
 &= \frac{ip}{2\pi} \int_0^{2\pi} \pi f(t) e^{-ipt} dt \\
 &= \frac{ip}{2\pi} c_p(f)
 \end{aligned}$$

Et on conclut par rcurrence sur k .

De plus,

$$\begin{aligned}
 |c_p(f^{(k)})| &\leq \frac{1}{2\pi} \int_0^{2\pi} |f^{(k)}(t)| dt \\
 \sup_{[0, 2\pi]} |f^{(k)}(t)| &=: C
 \end{aligned}$$

$$\text{Donc } |c_p(f)| = \frac{|c_p(f^{(k)})|}{|p|^k} \leq \frac{C}{|p|^k}.$$

□

Exemple 3. tudions la dcomposition en sries de Fourier de la fonction 2π -priedique en crneaux dfinie par :

$$f(x) = \begin{cases} -1 & \text{sur } [-\pi, 0[\\ 1 & \text{sur } [0, \pi[\end{cases}$$

Calculons d'abord les coefficients de Fourier de la fonction. Pour $p \neq 0$:

$$\begin{aligned} c_p &= \frac{1}{2\pi} \int_{-\pi}^{\pi} f(t) e^{-ipt} dt \\ &= \frac{1}{2\pi} \left(\int_{-\pi}^0 e^{-ipt} dt + \int_0^{\pi} e^{-ipt} dt \right) \\ &= \frac{1}{2\pi} \left(\left[\frac{e^{-ipt}}{-ip} \right]_{-\pi}^0 + \left[\frac{e^{-ipt}}{-ip} \right]_0^{\pi} \right) \\ &= \frac{-i + i(-1)^p}{\pi p} \end{aligned}$$

tudions les valeurs de c_p en fonction de p . Si $p = 2q$, $q \in \mathbb{Z}$, alors

$$c_{2q} = \frac{-i + i(-1)^{2q}}{\pi 2q} = 0$$

Si $p = 2q + 1$, alors :

$$c_{2q+1} = \frac{-i + i(-1)^{2q+1}}{\pi(2q+1)} = \frac{-2i}{\pi(2q+1)} = \frac{2}{i\pi(2q+1)}$$

Ds lors, on peut sommer uniquement sur les termes impairs :

$$\begin{aligned} S_{2N+1} &= \sum_{\substack{k=-2N-1 \\ k \neq 0}}^{2N+1} c_k e^{ikt} = \sum_{\substack{k=-N-1 \\ k \neq 0}}^N c_{2k+1} e^{i(2k+1)t} \\ &= \sum_{k=1}^N c_{2k+1} e^{i(2k+1)t} + c_{-(2k+1)} e^{-i(2k+1)t} \\ &= \sum_{k=1}^N \frac{2e^{i(2k+1)t}}{i\pi(2k+1)} - \frac{2e^{-i(2k+1)t}}{i\pi(2k+1)} \\ &= \sum_{k=1}^N \frac{4}{\pi(2k+1)} \sin((2k+1)t) \quad \text{d'aprs le formule d'Euler} \end{aligned}$$

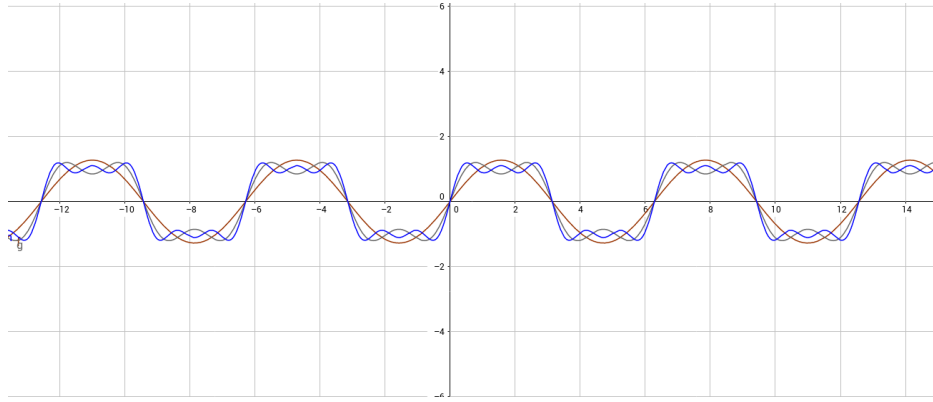


FIGURE 1 – Approximation de la fonction carre par S_1 (rouge), S_3 (vert) et S_5 (bleu)

0.3.2 Transforme de Fourier

La transforme de Fourier permet d'étendre les notions abordées dans le cadre des séries de Fourier dans un cadre plus général, notamment pour des fonctions non périodiques. Dans ce cadre, on ne peut plus se restreindre à la famille des e_k définie précédemment, car la notion de pulsation n'est plus valable dans ce cadre.

Définition 11. Soit f une fonction de $L^1(\mathbb{R})$ valeurs réelles ou complexes. La *Transforme de Fourier* est une fonction complexe définie par :

$$\mathcal{F}[f](\xi) = F(\xi) = \int_{-\infty}^{+\infty} f(t)e^{-i\xi t} dt$$

Remarque 2. La condition que la fonction f soit intégrable est suffisante pour que l'intégrale soit bien définie et que la transforme de Fourier existe. De plus, $F(\xi)$ sera une fonction continue et bornée qui tend vers 0 lorsque $|\xi| \rightarrow \infty$.

En effet, $|f(t)e^{-i\xi t}| \leq |f(t)|$ et t fixé $\xi \mapsto f(t)e^{-i\xi t}$ est continue.

Preuve 10. Soit $f \in L^1(\mathbb{R})$, montrons que $f(\xi) \rightarrow 0$ quand $|\xi| \rightarrow \infty$. On peut se contenter de le prouver pour un sous-ensemble E dense dans $L^1(\mathbb{R})$ (hypothèse $(*)$). En effet soit $\varepsilon > 0$, il existe $h \in E$ tel que $\|f - h\|_1 < \varepsilon/2$, on a ainsi les calculs suivants :

$$\begin{aligned} |\hat{f}(\xi)| &= \left| \int_{\mathbb{R}} f(t)e^{-i\xi t} dt \right| \\ &\leq \left| \int_{\mathbb{R}} (f(t) - h(t))e^{-i\xi t} dt \right| + \left| \int_{\mathbb{R}} h(t)e^{-i\xi t} dt \right| \quad \text{par l'inégalité triangulaire} \\ &\leq \int_{\mathbb{R}} |f(t) - h(t)| dt + \left| \int_{\mathbb{R}} h(t)e^{-i\xi t} dt \right| \\ &= \varepsilon/2 + \left| \int_{\mathbb{R}} h(t)e^{-i\xi t} dt \right| \\ &= \varepsilon/2 + \varepsilon/2 \quad \text{pour } \xi \text{ assez grand par l'hypothèse } (*) \end{aligned}$$

L'hypothèse $(*)$ est bien vérifiée pour E tant l'espace des fonctions continûment dérivables et à support compact. Soit $g \in E$, disons définie sur $[a, b]$, on a grâce à une intégration par partie :

$$\int_a^b f(t)e^{-i\xi t} dt = \frac{i}{\xi} f(t)e^{-i\xi t} \Big|_{t=a}^{t=b} - \frac{i}{\xi} \int_a^b f'(t)e^{-i\xi t} dt \longrightarrow 0 \quad (|\xi| \rightarrow \infty)$$

□

Nous pourrions nous restreindre aux fonctions de L^1 pour cette étude. Comme pour l'étude des séries de Fourier, une notion très importante est de pouvoir reconstruire le signal à partir de sa transformée de Fourier. Pour ce faire, il est possible d'utiliser la transformée de Fourier inverse.

Définition 12. En ajoutant la condition que f soit continue aux conditions précédentes, on peut définir la *transformée de Fourier inverse* par :

$$\overline{\mathcal{F}}[F](t) = f(t) = \frac{1}{2\pi} \int_{-\infty}^{+\infty} F(\xi)e^{i\xi t} dt$$

Remarque 3. Si la condition de la continuité de f n'est pas respectée, la transformée de Fourier de f sera quand même définie, mais l'égalité entre f et $\overline{\mathcal{F}}[\mathcal{F}[f]]$ ne sera vérifiée que presque partout.

Exemple 4. Soit $f \in L^1(\mathbb{R})$ une fonction définie par $f(t) = \begin{cases} 1 & \text{sur } [-a; a] \\ 0 & \text{sinon} \end{cases}$. Calculons sa transformée de Fourier :

$$\begin{aligned} \mathcal{F}[f](\xi) &= \int_{-\infty}^{+\infty} f(t)e^{-i\xi t} dt \\ &= \int_{-1}^1 e^{-i\xi t} dt \\ &= \left[-\frac{e^{-i\xi t}}{i\xi} \right]_{-a}^a \\ &= \frac{-e^{-ia\xi} + e^{ia\xi}}{i\xi} \\ &= \frac{2 \sin a\xi}{\xi} \quad \text{d'après la formule d'Euler} \end{aligned}$$

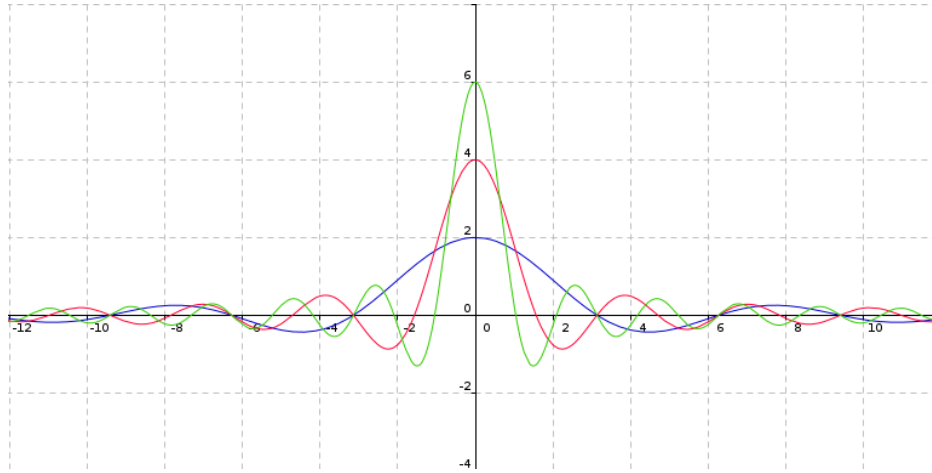


FIGURE 2 – Transforme de Fourier de f pour $a = 1$ (bleu), 2 (rouge), 3 (vert)

0.3.3 Transforme de Fourier fenetre glissante

La transforme de Fourier fenetre glissante est une solution par rapport au problme de la notion de temporalit apport par l'tude de signaux continus et non plus priodiques.

En reprenant la dfinition de la transforme de Fourier prcdente, on peut l'tendre pour ajouter la notion de fenetre glissante.

Dfinition 13. Soit f une fonction qui possde une transforme de Fourier. On peut dfnir la *Transforme de Fourier fenetre glissante* par :

$$F(\xi, \tau) = \int_{-\infty}^{+\infty} f(t) e^{-i\xi t} \overline{w(t - \tau)} dt$$

o w est la fonction de fenetre, et τ le paramtre de translation.

Il s'agit ensuite de trouver le format de fenetre adquat. La fonction la plus simple imaginer est sans doute la fonction "porte" dfnie par $w(t) = \begin{cases} 1 & \text{sur } [-1; 1] \\ 0 & \text{sinon} \end{cases}$. Cependant, il en existe de nombreuses autres dont on parlera plus tard.

Remarque 4. Il existe galement une transforme inverse pour la transforme de Fourier fenetre glissante.

0.3.4 Transforme de Fourier discrte

Ces conditions sont nous permettent de dfnir un cadre pour utiliser la transforme de Fourier. Nanmoins, lors d'applications l'informatique, nous ne pouvons pas conserver une infinit de valeurs, et il est ncessaire de pouvoir travailler sur des valeurs discrtes, tout en conservant au plus les propriets pour dcomposer et recomposer les fonctions. Dans le cadre de la transforme de Fourier discrte, au lieu d'utiliser des fonctions, nous allons nous intresser des suites qui correspondront l'chantillonnage de la fonction. Il est important de noter que ces suites seront finies, pour correspondre l'espace de stockage fini des ordinateurs.

Dfinition 14. On dfinit la frquence d'chantillonnage comme le nombre d'chantillons par unit de temps.

Pour que l'échantillonnage soit suffisant pour obtenir une reconstitution de qualité suffisante, on peut se référer au théorème de Nyquist-Shannon.

Théorème 5. *Si une fonction $f(t)$ ne contient pas de fréquences plus élevées que B Hz, il est complètement décrit en donnant une suite de ses valeurs à des points régulièrement espacés tout les $\frac{1}{2B}$ secondes.*

Dans la mesure où tous les appareils utilisés pour enregistrer des signaux ne peuvent pas capter de valeurs infinies, il sera possible de reconstituer le signal à partir de cette suite de valeurs, avec pour limite la qualité des appareils d'enregistrements et non pas les outils mathématiques. Dans certains cas, l'acuité humaine peut également servir de limite.

Exemple 5. Pour les enregistrements audios, la fréquence d'échantillonnage des fichiers pour le format CD est traditionnellement de 44 100 Hz, ce qui est juste supérieur au double de la fréquence la plus élevée que peut percevoir l'oreille humaine en théorie, c'est-à-dire 20 000 Hz.

Définition 15. On considère une suite $(s_n)_{n \in \{0; N-1\}}$ de N termes. La transformée de Fourier Discrète permet d'obtenir la suite $(S_k)_{k \in \{0; N-1\}}$ de N termes définis par :

$$S_k = \sum_{n=0}^{N-1} s_n e^{-2i\pi k \frac{n}{N}}$$

De la même manière que pour la transformée de Fourier, on pourra également définir la transformation inverse.

Définition 16. Dans les mêmes conditions que ci-dessus, on définit la transformée de Fourier discrète inverse par :

$$s_n = \frac{1}{N} \sum_{k=0}^{N-1} S_k e^{2i\pi k \frac{n}{N}}$$

Ces transformations sont sans pertes d'informations, ainsi, si les conditions du théorème de Nyquist-Shannon sur la fréquence d'échantillonnage ont été respectées, alors le signal peut être reconstitué sans perte via ces transformations successives.

L'avantage de l'utilisation de la transformée de Fourier discrète se retrouve également dans la vitesse d'exécution des calculs. En effet, la transformée de Fourier continue d'un échantillon de N termes a une complexité en $O(N^2)$ alors qu'il existe des algorithmes comme celui de la transformée de Fourier rapide, qui sous certaines conditions sur le nombre de termes de la suite à transformer, par exemple être une puissance de 2, peuvent atteindre une complexité en $O(N \log(N))$.

Dans le cas classique, pour calculer chacun des N coefficients, il faut effectuer N multiplications, d'où une complexité en $O(N)$. Dans le cas de l'algorithme de Cooley-Tukey, si N est une puissance de 2, alors il est possible de récrire la somme S_N en deux sommes, l'une sur les termes pairs et l'autre sur les termes impairs. Ces deux sommes sont des transformées de Fourier discrètes sur $N/2$ points. Grâce à la périodicité de la transformée de Fourier, on peut déduire que si $S_k = P_k + I_k$, avec P_k et I_k les transformées sur les termes pairs et impairs de longueur $N/2$, alors $S_{k+\frac{N}{2}} = P_k - I_k$. Récursivement, on peut appliquer cette décomposition pour calculer P_k et I_k , ce qui nous donne la complexité attendue.

Troisième partie

Analyse du signal

On munit présent $L^2(\mathbb{R})$ du produit scalaire $\langle \cdot, \cdot \rangle$ défini par

$$\langle f, g \rangle = \int_{\mathbb{R}} f(t) \overline{g(t)} dt$$

et de la topologie induite par la norme correspondante.

0.4 Analyse multi-résolution

0.4.1 Introduction

Nous allons enrichir la théorie des espaces de Hilbert d'une notion de " finesse " particulièrement adaptée à l'objet central de ce rapport. En effet, dans le cadre de l'approximation d'un signal, que nous modélisons par une fonction $\mathbb{R}^n \rightarrow \mathbb{R}^m$, cette notion prend tout son sens comme le montre l'image ci-dessous.



FIGURE 3 – Une image de voiture pour trois résolutions différentes

Les images peuvent être modélisées comme des fonctions de \mathbb{R}^2 , pour les coordonnées spatiales, dans \mathbb{R} (resp. \mathbb{R}^3) dans le cas d'une image en noir et blanc (resp. en couleur RVB). Dans le cas d'un signal sonore, sachant qu'un son est une onde, il peut être représenté par une fonction de \mathbb{R} , pour le temps, dans \mathbb{R} , pour l'amplitude de l'oscillation.

Avant de définir l'analyse multi-résolution, explorons plus profondément cette notion de " finesse ".

Quelle finesse !

Nous allons prendre pour exemple les signaux unidimensionnels (tels les sons). Soit $f : [0, 1[\rightarrow \mathbb{R}$ une fonction continue, nous allons l'approximer par des fonctions constantes par morceaux (dites *tages*), dont les morceaux sont de plus en plus petits.

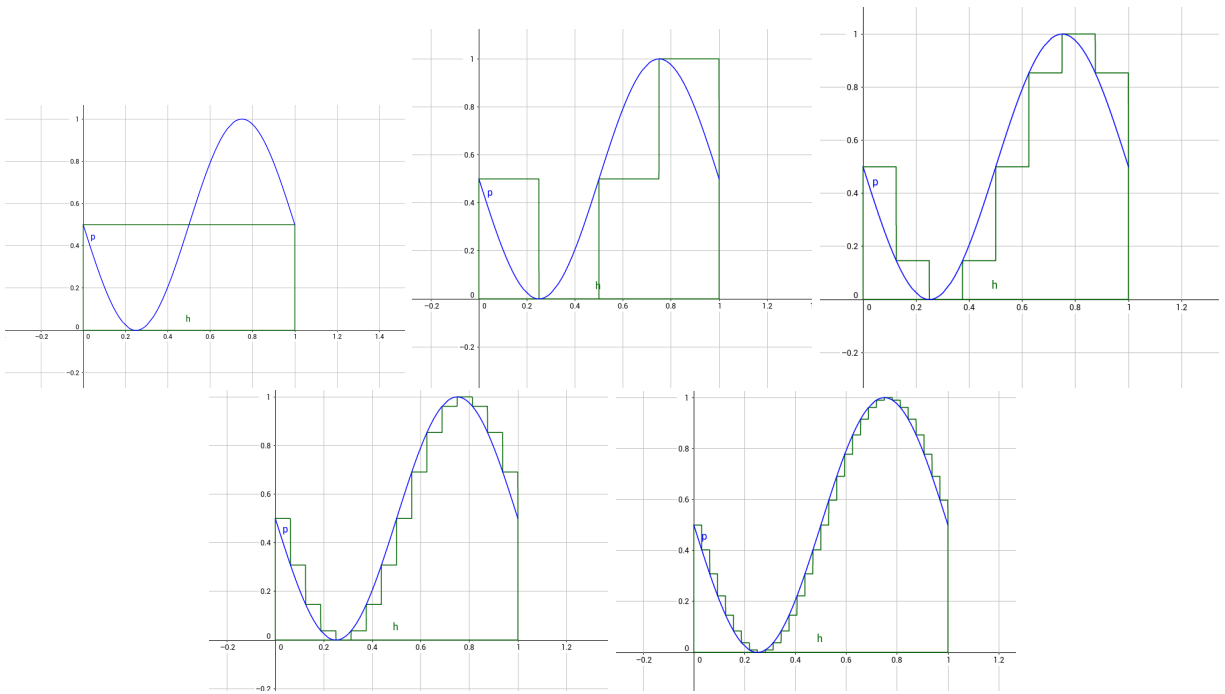


FIGURE 4 – f approxime par des fonctions dont les morceaux sont de tailles 1, 1/2, 1/4, 1/8 et 1/16

Sur la figure on approxime f par des fonctions f_n tages dont les morceaux sont de tailles 2^{-n} , on peut voir chaque f_n comme une combinaison lineaire de fonctions caractristiques de la forme suivante

$$f_n = \sum_{k=0}^{2^n} a_{n,k} \mathbb{1}_{[k2^{-n}, (k+1)2^{-n}[}$$

La premiere remarque que l'ont peut faire est que chaque $\mathbb{1}_{[k2^{-n}, (k+1)2^{-n}[}$ est le translat de $\mathbb{1}_{[0, 2^{-n}[}$, que l'on notera I_n . On rcrit alors

$$f_n(x) = \sum_{k=0}^{2^n} a_{n,k} I_n(x - k2^{-n})$$

La seconde est que I_n est une contraction de I_1 que l'on notera I . On en tire notre dernire rcriture :

$$f_n(x) = \sum_{k=0}^{2^n} a_{n,k} I\left(\frac{x - k2^{-n}}{2^{-n}}\right) = \sum_{k=0}^{2^n} a_{n,k} I(2^n x - k)$$

Ainsi si on fixe $I = \mathbb{1}_{[0, 1[}$ comme fonction de rfrence dans notre dcomposition, la suite de fonctions $(f_n)_n$ est entiereent dtermine par les coefficients $(a_{n,k})_{n,k}$

0.4.2 L'analyse multi-résolution

Dans l'exemple introductif, pour tout n on a pu voir que f_n était une combinaison linéaire du translat d'une fonction I_n , f_n appartenait alors à l'espace vectoriel engendré par les translations de I_n . De plus, chaque I_n était la contraction de la fonction I donnée par $I_n(t) = I(t/2^n)$. Il s'agissait d'un exemple d'analyse multi-résolution dont voici la définition :

Définition 17. Une *analyse multi-résolution* de l'espace $L^2(\mathbb{R})$ des fonctions de carré Lebesgue-intégrables est une suite $V = \{V_n\}_{n \in \mathbb{Z}} \subset L^2(\mathbb{R})$ de sous-espaces fermés de $L^2(\mathbb{R})$ satisfaisant aux conditions suivantes :

$$\forall n \in \mathbb{Z}, V_n \subset V_{n+1} \text{ (croissance)} \quad (1)$$

$$\forall n \in \mathbb{Z}, \forall f \in L^2(\mathbb{R}), f \in V_n \iff f(2 \cdot) \in V_{n+1} \text{ (auto-similarité)} \quad (2)$$

$$\text{Il existe } \varphi \text{ telle que } \{\varphi_k = \varphi(\cdot + k)\}_{k \in \mathbb{Z}} \text{ forme une base orthonormée de } V_0 \quad (3)$$

$$\overline{\bigcup V} = L^2(\mathbb{R}) \text{ (densité)} \quad (4)$$

$$\bigcap V = \{0\} \quad (5)$$

φ est appelée *fonction d'échelle*.

On peut généraliser par récurrence la propriété 2 de la façon suivante :

$$\forall n \in \mathbb{Z}, \forall f \in L^2(\mathbb{R}), f \in V_0 \iff t \mapsto f(2^n t) \in V_n \quad (6)$$

Ce qui met en évidence que plus n est grand, plus l'espace V_n contient des fonctions fines (la fonction est contractée horizontalement). D'après les propriétés 2 et 3, on peut déduire que toute fonction de V_n est une combinaison linéaire de contraction (d'un facteur au plus 2^n) et translation de φ .

Définition 18. Une analyse multi-résolution est dite *localisée* si φ vérifie la condition suivante

$$\forall m \in \mathbb{N}, \int_{\mathbb{R}} (1 + |t|)^m |\varphi(t)|^2 dt < +\infty \quad (7)$$

Cette propriété porte bien son nom, si φ la vérifie alors $|\varphi|^2$ décroît bien plus vite que tout polynôme en $\pm\infty$, suffisamment pour être intégrable. C'est le cas par exemple des gaussiennes et des fonctions à support compact. Une telle fonction φ a une masse concentrée près de 0, ce qui limitera les "interférences" de ses translations dans leurs combinaisons linéaires.

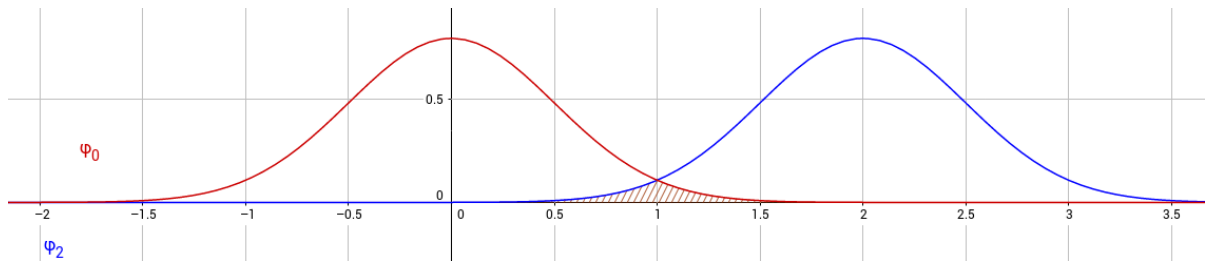


FIGURE 5 – Les gaussiennes sont localisées

0.4.3 Espace des dtails

Pour tout n , on dnote par $P_n : L^2(\mathbb{R}) \longrightarrow V_n$ la projection orthogonale sur V_n (on choisit les projections orthogonales car elles minimisent l'erreur commise en passant d'un espace l'autre). Ainsi, pour tout $f \in L^2(\mathbb{R})$, $P_n(f)$ est l'approximation de f avec une prcision 2^{-n} . Sur la figure 4.1, on projette f sur les espaces $V_0 \dots V_4$.

Penchons nous sur ce qui se passe lorsqu'on passe d'une chelle plus fine une chelle plus grossiere.

Soient $f \in L^2(\mathbb{R})$ et f_n son approximation dans V_n (c'est--dire $f_n = P_n(f)$). Le passage de $V_n \longrightarrow V_{n-1}$ constitue une perte d'informations car on passe d'un espace plus fin un espace plus grossier.

$$\begin{aligned} f_{n-1} &= P_{n-1}(f_n) \\ &= P_{n-1}((f_n - f_{n-1}) + f_{n-1}) \\ &= \underbrace{P_{n-1}(f_n - f_{n-1})}_0 + f_{n-1} \end{aligned}$$

La perte de prcision, formalise par $f_n - f_{n-1}$, est donc un lment du noyau de P_{n-1} , savoir V_{n-1}^\perp . Mais $f_n - f_{n-1}$ tant dans V_n , l'ensemble regroupant les dtails perdus en passant de $V_n \longrightarrow V_{n-1}$ est $V_{n-1}^\perp \cap V_n$, c'est--dire le complmentaire orthogonal de V_{n-1} dans V_n .

Dfinition 19. Pour tout n on dfinit *l'espace de dtails* W_n comme le complmentaire orthogonal de V_n dans V_{n+1}

$$V_{n+1} = W_n \oplus V_n$$

Les $(W_n)_n$ ne forment plus une famille monotone, mais leur somme recouvre tous les V_n . En d'autre termes, on peut prsent approximer toute fonction de $L^2(\mathbb{R})$ par une combinaison liniaire d'lments de $\bigoplus_{n \in \mathbb{Z}} W_n$.

Preuve 11. Soit $n_0 \in \mathbb{Z}$, on a par dfinition des $(W_n)_n$

$$\begin{aligned} V_{n_0+1} &= V_{n_0} \oplus W_{n_0} \\ &= V_{n_0-1} \oplus (W_{n_0-1} \oplus W_{n_0}) \\ &\dots \\ &= V_{n_0-N} \oplus \left(\bigoplus_{n=n_0-N}^{n_0} W_n \right) \\ &\dots \\ &= \bigcap V \oplus \left(\bigoplus_{n=-\infty}^{n_0} W_n \right) \\ &= \{0\} \oplus \left(\bigoplus_{n=-\infty}^{n_0} W_n \right) \\ &= \bigoplus_{n=-\infty}^{n_0} W_n \end{aligned}$$

On en dduit ainsi $\bigcup V = \bigoplus_{n \in \mathbb{Z}} W_n$ en faisant tendre n_0 vers ∞ (ou plutt en faisant l'union gauche et droite pour tout $n_0 \in \mathbb{Z}$).

□

Comme on l'a dit, les $(W_n)_n$ ne forment pas une suite d'espaces emboîtes (ils sont mme orthogonaux deux deux), cependant ils vrifient encore les conditions d'auto-similarit et de stabilit par translation.

0.5 Ondelettes

Dfinition 20. Il existe une fonction norme ψ - appele *ondelette* - engendrant W_0 par translation et de moyenne nulle (d'intgrale nulle).

On admettra son existence³, mais elle peut tre construite explicitement partir de φ .

On dfinit encore une fois la famille $\Psi = \{\psi_{n,k}\}_{n,k \in \mathbb{Z}}$ par $\psi_{n,k}(t) = \sqrt{2^n} \psi(2^n t - k)$, et cette fois ci ... cette famille est une base orthonorme de $\bigoplus_{n \in \mathbb{Z}} W_n$! Et donc une base hilbertienne de $L^2(\mathbb{R})$!

Le fait que la famille soit norme est vident, le fait qu'elle soit orthogonale dcoule de l'orthogonalit des W_n .

Exemple 6. On prend comme exemple l'ondelette de Haar qui est donne par

$$\psi(t) = \begin{cases} 0 & x < 0 \\ 1 & 0 \leq x < \frac{1}{2} \\ -1 & \frac{1}{2} \leq x < 1 \\ 0 & 0 \leq x \end{cases}$$

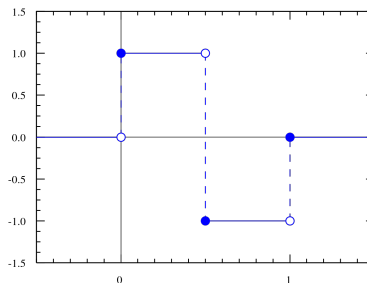


FIGURE 6 – L'ondelette de Haar

ψ est effectivement de moyenne nulle et Ψ est orthonorme :

$$\begin{aligned} \langle \psi_{n,k}, \psi_{m,l} \rangle &= \int_{-\infty}^{\infty} \psi_{n,k}(t) \psi_{m,l}(t) dt \\ &= 2^{\frac{m+n}{2}} \int_{-\infty}^{\infty} \underbrace{\psi(2^n t - k) \psi(2^m t - l)}_{h(t)} dt \end{aligned}$$

3. Voir *Wavelets and Multiscale Signal Processing* d'Albert Cohen pour une dmonstration de l'existence.

Si le graphe de la fonction h admet un centre de symétrie sur \mathbb{R} alors elle sera d'intégrale nulle (gnralisation du fait que l'intégrale d'une fonction impaire est nulle). Cette remarque nous fournit un argument gomtrique pour justifier que $\langle \psi_{n,k}, \psi_{m,l} \rangle$ vaut 1 si $n = m$ et $k = l$, et 0 sinon.

Supposons $n \neq m$, alors les fonctions peuvent se positionner l'une par rapport l'autre de quatre faons diffrentes, leur produit aura bien un centre de symétrie comme sur le figure.

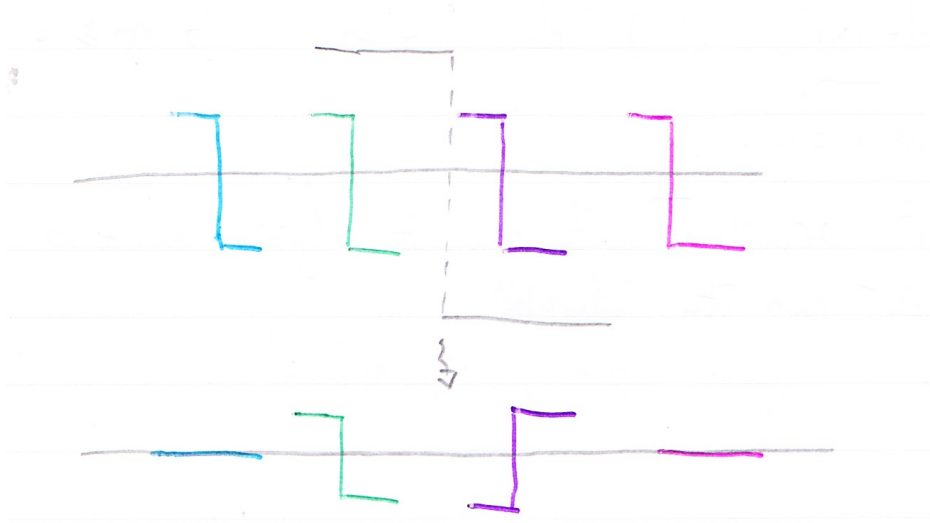


FIGURE 7 – Le produit de deux ondelettes de Haar diffrentes (la grise par une en couleur) possdent un centre de symétrie dans \mathbb{R} .

Exemple 7. Voici un autre exemple d'ondelette appele "Chapeau mexicain" (ou ondelette de Ricker) est dfinie comme la drive seconde d'une gaussienne. Elle est donne par

$$\psi(t) = \lambda e^{-t^2/2} (1 - t^2)$$

avec λ tel que $\|\psi\|_2 = 1$, c'est--dire que

$$\begin{aligned} 1 = \|\psi\|_2^2 &= \lambda^2 \int_{-\infty}^{\infty} e^{-t^2} (1 - t^2)^2 dt \\ &= \lambda^2 \left(\int_{-\infty}^{\infty} e^{-t^2} dt - 2 \int_{-\infty}^{\infty} t^2 e^{-t^2} dt + \int_{-\infty}^{\infty} t^4 e^{-t^2} dt \right) \\ &= \lambda^2 \left(\sqrt{2\pi} - \sqrt{2\pi} + \frac{3}{2} \sqrt{2\pi} \right) \\ &= \lambda^2 \frac{3}{2} \sqrt{2\pi} \end{aligned}$$

$$\text{donc } \lambda = \frac{2^{3/4}}{\sqrt{3\pi}^{1/4}}.$$

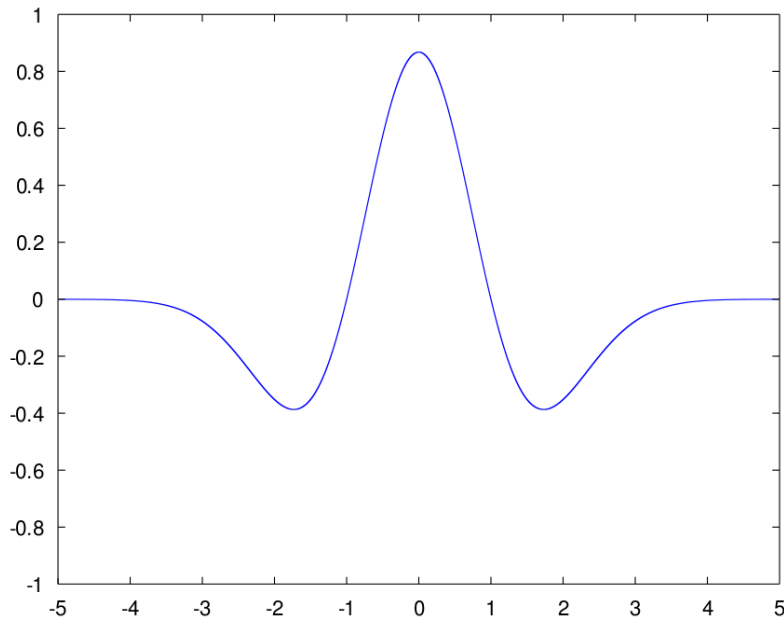


FIGURE 8 – Le chapeau mexicain

Elle est effectivement de moyenne nulle : si g est une gaussienne telle que $g^{(2)} = \psi$ alors

$$\int_{-\infty}^{\infty} \psi(t) dt = g'(t) \Big|_{-\infty}^{\infty} = 0$$

car $g'(t)$ est de la forme te^{-t^2} .

Définition 21. On dit d'une ondelette qu'elle a n moments nuls si pour tout $k = 0, 1, \dots, n$ elle vérifie

$$\int_{-\infty}^{\infty} t^k f(t) dt = 0$$

Autrement dit, elle est orthogonale à tout polynôme de degré au plus n (en gardant bien en tête que les polynômes ne sont pas intégrables).

Une telle ondelette permettra d'obtenir une majoration des coefficients de la transformation en ondelette d'une fonction de classe \mathcal{C}^{n+1} à support borné grâce à la formule de Taylor-Lagrange.

Soit f une fonction $n+1$ fois continûment dérivable à support dans un intervalle $I = [-M/2, M/2]$, pour tout point $x_0 \in I$ il existe un polynôme P de degré n tel que pour tout $x \in I$

$$f(x) = P(x - x_0) + f^{(n+1)}(c_{x_0, x}) \frac{(x - x_0)^{n+1}}{(n+1)!} \quad \text{avec } |c - x| < |x - x_0|$$

Ce qui nous fournit la majoration

$$\begin{aligned} |\langle f, \psi \rangle| &= \left| \int_{-\infty}^{\infty} f(x) \psi(x) dx \right| \\ &= \left| \int_{-\infty}^{\infty} P(x - x_0) \psi(x) dx + \int_{-\infty}^{\infty} f^{(n+1)}(c_{x_0, x}) \frac{(x - x_0)^{n+1}}{(n+1)!} \psi(x) dx \right| \end{aligned}$$

Or ψ est orthogonale tout polynome.

$$\begin{aligned} |\langle f, \psi \rangle| &= \left| \int_{-\infty}^{\infty} f^{(n+1)}(c_{x_0, x}) \frac{(x - x_0)^{n+1}}{(n+1)!} \psi(x) dx \right| \\ &= \left| \int_I f^{(n+1)}(c_{x_0, x}) \frac{(x - x_0)^{n+1}}{(n+1)!} \psi(x) dx \right| \quad \text{car } f^{(n+1)} \text{ est support dans } I \\ &\leq \int_I \left| f^{(n+1)}(c_{x_0, x}) \frac{(x - x_0)^{n+1}}{(n+1)!} \psi(x) \right| dx \\ &\leq \int_I \left| \frac{(x - x_0)^{n+1}}{(n+1)!} \psi(x) \right| dx \|f\|_{\infty} \\ &\leq \int_I \left| \frac{(x - x_0)^{n+1}}{(n+1)!} \psi(x) \right| dx \|f^{(n+1)}\|_{\infty} \\ &\leq \int_I |\psi(x)| dx \frac{M^{n+1}}{(n+1)!} \|f^{(n+1)}\|_{\infty} \\ &\leq N \frac{M^{n+1}}{(n+1)!} \|f^{(n+1)}\|_{\infty} \end{aligned}$$

o $N = \int_I |\psi(x)| dx$.

Quatrième partie

Algorithmes d'encodage et de dcodage

0.6 Cadre thorique

D'un point de vue pratique, les fonctions sont representes comme des fonctions en escalier, qui de plus sont support borns (disons sur $[0, 1]$). C'est--dire que l'on manipule des fonctions $f \in L^2(\mathbb{R})$ de la forme

$$f = \sum_{j=0}^{2^{N_0}-1} a_j \mathbb{1}_{[2^{-N_0}j, 2^{-N_0}(j+1)[$$

Le calcul des coefficients s'en retrouve ainsi simplifi :

$$\begin{aligned} \langle f, \psi_{n,k} \rangle &= \int_0^1 f(t) \overline{\psi_{n,k}(t)} dt \\ &= \sum_{j=0}^{N-1} \int_{\frac{j}{n}}^{\frac{j+1}{n}} a_j \overline{\psi_{n,k}(t)} dt \\ &= \sum_{j=0}^{N-1} \int_j^{j+1} a_j \overline{\frac{1}{\sqrt{2^n}} \psi(2^n t - k)} dt \\ &= \sum_{j=0}^{N-1} a_j \frac{1}{\sqrt{2^{3n}}} \int_{2^n j - k}^{2^n(j+1) - k} \overline{\psi(u)} du \quad \text{o } 2^n t - k = u \\ &= \sum_{j=0}^{N-1} a_j \frac{1}{\sqrt{2^{3n}}} (F(2^n j - k) - F(2^n(j+1) - k)) \end{aligned}$$

o F est une primitive de $\overline{\psi}$ et $N = 2^{N_0}$.

tant face des fonctions en escalier avec un pas fixe, on peut les reprsenter comme des vecteurs de \mathbb{R}^N , o la $(j+1)$ -ime coordonne est la valeur prise sur le $(j+1)$ -ime intervalle. On note $\tilde{f} = (a_j, a_1 \cdots a_N)$ et $\tilde{\psi}_{n,k} = \left(\frac{1}{\sqrt{2^{3n}}} (F(2^n j - k) - F(2^n(j+1) - k)) \right)_{j=0,1 \dots N-1}$, on a alors

$$\langle f, \psi_{n,k} \rangle = \tilde{\psi}_{n,k}^t \tilde{f}$$

De plus, en dfinissant $S_n = (\langle f, \psi_{n,k} \rangle)_{k=0,1 \dots s(n)}$, avec $s(n)$ le plus grand k que l'on souhaitera calculer, et

$$P_n = \begin{pmatrix} \tilde{\psi}_{n,0} \\ \tilde{\psi}_{n,1} \\ \vdots \\ \tilde{\psi}_{n,s(n)} \end{pmatrix}$$

on a enfin

$$S_n = P_n^t \tilde{f}$$

Chaque P_n est alors le projecteur de f sur l'espace de dtails W_n , les coefficients sont alors stocks dans le vecteur S_n .

Remarque 5. La matrice \tilde{f} est de taille $1 \times N$, P_n de taille $s(n) \times N$ et S_n de taille $1 \times s(n)$.

L'algorithme de compression consiste alors en le remplissage des matrices de projection pour chaque niveau de dtail et en la multiplication pour obtenir chaque S_n . Nous proposons l'algorithme naf suivant :

```

1 : procedure ENCODER( $F, \tilde{f}, N_0, s$ )
2 :    $P_0 = \text{Construire}(F, 0, s(0))$ 
3 :   for  $n = 1, 2 \dots N_0$  do
4 :      $P_n = \text{Construire}(F, n, s(n))$ 
5 :      $S_n = P_n \overset{\tilde{f}}{\uparrow}$ 
6 :      $P_{-n} = \text{Construire}(F, -n)$ 
7 :      $S_{-n} = P_{-n} \overset{\tilde{f}}{\uparrow}$ 
8 :   end for
9 :   return  $(S_0, S_{-1}, S_1 \dots S_{N_0}, S_{-N_0})$ 
10 : end procedure

11 : procedure DCODER( $\psi, A = (\alpha_{n,k})_{n,k}, N_0, s(n)$ )
12 :   for  $x = 0, 2^{-1} \dots 2^{-N_0}$  do
13 :      $f(x) = 0$ 
14 :     for  $n = 0, 1 \dots N_0$  do
15 :       for  $k = 0, 1 \dots s(n)$  do
16 :          $f(x) = f(x) + \alpha_{n,k} \times \psi(2^{-n}x - k)$ 
17 :       end for
18 :     end for
19 :   end for
20 :   return  $f$ 
21 : end procedure

```

0.6.1 Validation de l'algorithme

Vrifier que cet algorithme est correct consiste vrifier que les approximations que l'on a du faire pour passer de valeurs infinies des valeurs finies pour n et k ne sont pas prjudiciables la validit des rsultats produits. Il s'agit donc de vrifier que les valeurs de n et k enlevs sont ngligeables. En effet, le reste de l'algorithme ne doit pas donner lieu a des erreurs : la formule utilise est celle qui a t dfinie plus tt, et il est certain de terminer.

Coordonnes $n \leq 0$

La valeur de $\langle f, \psi_{n,k} \rangle$ reprsente peu prs la variation dans l'intervalle $[2^n k, 2^n(k+1)]$.

tant donn que f est chantillonne avec une frquence de 1, f est constante sur les intervalles $[2^n k, 2^n(k+1)]$ pour $n \leq 0$. On nglige donc la valeur des coordonnes ces indices. Dans la pratique, cela correspond a des intervalles qui sont plus petits que la frquence d'chantillonnage : la fonction est donc constante sur l'intervalle, et comme l'ondelette est de moyenne nulle, les valeurs qui lui sont associes sont bien ngligeables.

Coordonnes $n > \lceil \log_2 N \rceil$

De mme que prcdemment, $\langle f, \psi_{n,k} \rangle$ reprsente la variation dans l'intervalle $[2^n k, 2^n(k+1)]$. Or, cela veut dire que $2^n > 2^{\lceil \log_2 N \rceil} \geq N$, c'est dire que les intervalles sont plus grands que le domaine de dfinition de la fonction. Ds lors, ils ne seront pas utiles.

Coordonnées k

On veut obtenir un recouvrement minimal de $[0, N[$ avec les intervalles disjoints $[2^n k, 2^n(k+1)[$.

Pour que $[2^n k, 2^n(k+1)[\cap [0, N[\neq \emptyset$, il faut que $0 \leq k < 2^{-n}N$.

Exemple 8. Nous allons décomposer la fonction $f(t) = t$ définie sur $[0, 1]$ dans la base de l'ondelette de Haar, la famille donne par

$$\psi_{n,k}(t) = \begin{cases} \sqrt{2^n} & 2^{-n}k \leq t < 2^{-n}(k+1/2) \\ -\sqrt{2^n} & 2^{-n}(k+1/2) \leq t < 2^{-n}(k+1) \end{cases}$$

Les coefficients sont

$$\begin{aligned} \alpha_{n,k} &= \int_0^1 \psi_{n,k}(t) f(t) dt \\ &= \sqrt{2^n} \int_{2^{-n}k}^{2^{-n}(k+1/2)} t dt - \sqrt{2^n} \int_{2^{-n}(k+1/2)}^{2^{-n}(k+1)} t dt \\ &= \sqrt{2^n} \frac{t^2}{2} \Big|_{2^{-n}k}^{2^{-n}(k+1/2)} - \sqrt{2^n} \frac{t^2}{2} \Big|_{2^{-n}(k+1/2)}^{2^{-n}(k+1)} \\ &= \frac{1}{\sqrt{2}^{3n+4}} \end{aligned}$$

0.7 Version alternative

Si l'on ne souhaite pas utiliser de coefficients pour des n négatifs, on peut l'éviter en intégrant φ dans la décomposition.

En reprenant les calculs de la preuve XXX, on peut aisément retrouver

$$\bigcup_{n \in \mathbb{Z}} V_n = V_0 \oplus \left(\bigoplus_{n \in \mathbb{N}} W_n \right)$$

Autrement dit, on peut décomposer toute fonction $f \in L^2(\mathbb{R})$ ainsi :

$$f = \sum_{k \in \mathbb{Z}} \langle \varphi_k, f \rangle \varphi_k + \sum_{\substack{k \in \mathbb{Z} \\ n \in \mathbb{N}}} \langle \psi_{n,k}, f \rangle \psi_{n,k}$$

0.7.1 Optimisation et compression

L'intérêt de ce type d'algorithme est de pouvoir compresser les informations pour encoder le signal en perdant le moins d'informations possible. Pour cela, on peut agir à deux niveaux.

Niveaux de détail

Le premier point sur lequel on peut travailler est le niveau de détail. Lorsqu'on observe l'algorithme, on peut voir que les coefficients pour les premières valeurs de n sont moins nombreux, du fait qu'il suffit de quelques ondelettes pour parcourir le domaine de définition. Ce sont ces coefficients qui donnent la structure globale du signal et sont plus impactants que les niveaux de détails suivants. On peut donc penser qu'il est possible d'arrêter l'algorithme plus après moins d'itérations que ce que l'on a défini précédemment car les détails suivants seront négligeables.

Encodage des coefficients

Un autre point sur lequel on peut travailler est l'encodage des coefficients, ou tout du moins leur niveau de précision. En effet, il n'est pas forcément utile d'avoir une grande précision sur la valeur du coefficient. De plus, partir d'un certain rang, comme on l'a pens précédemment, la plupart des coefficients sont négligeables. Pour optimiser le volume des coefficients forms, il peut être utile de ne stocker que les coefficients non nuls, qui seront bien moins nombreux.